

И. З. КОСТАДИНОВ, Я. Г. ПРОЙКОВА

КОЭФФИЦИЕНТ ОПТИЧЕСКОГО ПОГЛОЩЕНИЯ НА СВОБОДНЫХ НОСИТЕЛЯХ ЗАРЯДА

Получено выражение для коэффициента поглощения света с учетом затухания. Рассмотрено рассеяние на примесях и на оптических фононах. Результаты вычисления показаны на рисунках. Обсуждается роль различных механизмов рассеяния.

В данной работе вычисляется коэффициент оптического поглощения на электронах проводимости в невырожденных полупроводниках с простой зонной структурой (GaAs, InSb) при рассеянии на примесях и на оптических фононах.

Известно, что переходы с поглощением фонона в пределах одной зоны запрещены в силу сохранения энергии и квазимпульса. Они, однако, становятся возможными при учете рассеяния электронов на фононах, примесных центрах и других дефектах решетки. Многие работы посвящены вычислению соответствующего коэффициента поглощения. Так, в [1, 2 и 3] определена вероятность оптического перехода для коэффициента поглощения. В работе [4] с помощью мацубаровской техники было получено выражение для коэффициента поглощения при рассеянии на фононах в области высоких частот. В работе [5] методом матрицы плотности получены эквивалентные выражения при рассеянии на примесях и на фононах. Однако во всех указанных работах полученные выражения применимы только в области высоких частот, что иногда оказывается недостаточным. Более общее выражение было получено в [6] для вырожденного газа при помощи расцепления цепочки уравнений для двухвременных функций Грина. В настоящей работе метод, развитый в [6], используется для вычисления коэффициента оптического поглощения при произвольной степени вырождения электронного газа в полупроводнике.

§ 1. Исходные выражения

Как известно, из уравнений Максвелла вытекает, что при высоких частотах действительная часть электропроводности связана с коэффициентом оптического поглощения равенством

$$\alpha(\omega) = \frac{4\pi \operatorname{Re} \sigma(\omega)}{c \sqrt{\epsilon}}$$

Далее, согласно [7]

$$Re \sigma_{\alpha\beta}(\omega) = -\frac{2\pi e^2}{\omega} \sum_{\vec{k}, \vec{k}'} v_{\alpha}(\vec{k}) v_{\beta}(\vec{k}') Im G_{\vec{k}, \vec{k}'}(\omega),$$

где α, β тензорные индексы, $v_{\alpha}(\vec{k}) = \frac{\partial \epsilon_{\vec{k}}}{\partial k_{\alpha}}$, а запаздывающая функция Грина $G_{\vec{k}, \vec{k}'}$ определена равенством

$$G_{\vec{k}, \vec{k}'}(\omega) = \frac{1}{2\pi} \int_{-\infty}^{\infty} dt e^{i\omega t} (-i\theta(t) \langle [a_{\vec{k}}^{\dagger}(t) a_{\vec{k}}(t), a_{\vec{k}'}(t') a_{\vec{k}}'(t')]_{-} \rangle).$$

Функция $G_{\vec{k}, \vec{k}'}$ находится с помощью расщепления соответствующей цепочки уравнений. При этом гамильтониан для рассеяния на примесях и на оптических фононах имеет вид

$$H = \sum_{\vec{k}} \epsilon_{\vec{k}} a_{\vec{k}}^{\dagger} a_{\vec{k}} + \frac{1}{V} \sum_{\vec{k}, \vec{q}} I(\vec{q}) \sum_{i=1}^N e^{-i\vec{q} \cdot \vec{r}_i} a_{\vec{k}+\vec{q}}^{\dagger} a_{\vec{k}}, \quad (1)$$

$$H = \sum_{\vec{k}} \epsilon_{\vec{k}} a_{\vec{k}}^{\dagger} a_{\vec{k}} + \sum_{\vec{q}} \omega_{\vec{q}} b_{\vec{q}}^{\dagger} b_{\vec{q}} + \sum_{\vec{k}, \vec{q}} A_{\vec{q}} a_{\vec{k}+\vec{q}}^{\dagger} a_{\vec{k}} (b_{\vec{q}} + b_{-\vec{q}}^{\dagger}). \quad (2)$$

Здесь N — полное число хаотически расположенных примесных центров с координатами \vec{r}_i , а $I(\vec{q})$ — Фурье-образ экранированного потенциала взаимодействия электрона с примесью имеет вид

$$I(q) = \frac{4\pi e^2}{\epsilon} \frac{1}{k_0^2 + q^2}, \quad k_0 = \sqrt{\frac{4\pi n_0 e^2}{\epsilon T}},$$

а $n_0 = N_c e^{\frac{\mu - E_c}{T}}$, T — температура в энергетических единицах.

Матричный элемент электрон-фононного взаимодействия дается выражением*

$$A_q^2 = \frac{8\pi^2 e^4}{MV\omega_0 a^3 q^2},$$

где M — приведенная масса ионов, ω_0 — частота оптического фонона.

Проводя такие же, как в [6] выкладки, но с учетом того, что $G_{\vec{k}, \vec{k}'}$ — коммутаторная функция, находим замкнутое уравнение

$$EG_{\vec{k}, \vec{k}'}(E) = \frac{1}{2\pi} \sum_q (\delta_{\vec{k}', \vec{k} - \vec{q}} - \delta_{\vec{k}', \vec{k}}) P_{\vec{k}, \vec{q}}(E) + \\ + \sum_q \{G_{\vec{k}, \vec{k}'}(E) \omega_{\vec{k}, \vec{k}+\vec{q}}(E) - G_{\vec{k}+\vec{q}, \vec{k}'}(E) \omega_{\vec{k}+\vec{q}, \vec{k}}(E)\}. \quad (3)$$

* Это выражение эквивалентно формуле

$$A_q^2 = \frac{2\pi\omega_0 e^2 \left(\frac{1}{\epsilon_{\infty}} - \frac{1}{\epsilon_0} \right)}{q^2 V},$$

где $\epsilon_0, \epsilon_{\infty}$ — статическая и оптическая диэлектрическая проницаемости.

Здесь E — комплексная переменная.

При этом считается, что величины $I(q)$ и A_q , входящие в (1) и (2), содержат малый параметр g . Вид функций $\omega_{\vec{k}, \vec{k}+\vec{q}}(E)$ и $P_{\vec{k}\vec{q}}(E)$ будет конкретизирован ниже. Пока заметим, что функция $P_{\vec{k}\vec{q}}(E)$ порядка g^2 .

Умножая уравнение (3) на \vec{k} , суммируя по \vec{k} и учитывая, что

$$\sum_{\vec{k}, \vec{q}} \vec{k} \omega_{\vec{k}, \vec{k}+\vec{q}} G_{\vec{k}+\vec{q}, \vec{k}'} = \sum_{\vec{k}, \vec{q}} (\vec{k} + \vec{q}) \omega_{\vec{k}+\vec{q}, \vec{k}} G_{\vec{k}, \vec{k}'},$$

снимаем сумму по \vec{k} .

Введем обозначение

$$\vec{k} \mathfrak{M}_{\vec{k}}(E) = - \sum_{\vec{q}} \vec{q} \omega_{\vec{k}+\vec{q}, \vec{k}}(E).$$

Тогда получим*

$$G_{\vec{k}, \vec{k}'}(E) = \frac{1}{2\pi} \cdot \frac{\sum_{\vec{q}} (\delta_{\vec{k}', \vec{k}-\vec{q}} - \delta_{\vec{k}', \vec{k}}) P_{\vec{k}\vec{q}}(E)}{E - \mathfrak{M}_{\vec{k}}(E)}.$$

Совершим предельный переход $E = \omega \pm i\varepsilon$, $\varepsilon \rightarrow +0$, обозначив

$$\mathfrak{M}_{\vec{k}}(\omega \pm i\varepsilon) = M_{\vec{k}}(\omega) \pm i\gamma_{\vec{k}}(\omega),$$

$$P_{\vec{k}\vec{q}}(\omega \pm i\varepsilon) = P'_{\vec{k}\vec{q}}(\omega) \pm iP''_{\vec{k}\vec{q}}(\omega).$$

Тогда мнимая часть функции $G_{\vec{k}, \vec{k}'}(\omega)$ будет

$$Im G_{\vec{k}, \vec{k}'}(\omega) = \frac{1}{2\pi} \cdot \frac{\sum_{\vec{q}} (\delta_{\vec{k}', \vec{k}-\vec{q}} - \delta_{\vec{k}', \vec{k}}) [P'_{\vec{k}\vec{q}}(\omega) \gamma_{\vec{k}}(\omega) + P''_{\vec{k}\vec{q}}(\omega) (\omega - M_{\vec{k}}(\omega))]}{[\omega - M_{\vec{k}}(\omega)]^2 + \gamma_{\vec{k}}^2(\omega)}.$$

Опустим $M_{\vec{k}}(\omega)$ и $P''_{\vec{k}\vec{q}}(\omega) \gamma_{\vec{k}}(\omega)$ (порядка g^4), считая эти величины малыми. Получим

$$Im G_{\vec{k}, \vec{k}'}(\omega) = \frac{1}{2\pi} \frac{\sum_{\vec{q}} (\delta_{\vec{k}', \vec{k}-\vec{q}} - \delta_{\vec{k}', \vec{k}}) P'_{\vec{k}\vec{q}}(\omega) \cdot \omega}{\omega^2 + \gamma_{\vec{k}}^2(\omega)}. \quad (4)$$

Имея в виду полупроводники с простой зонной структурой, напишем энергию электрона вблизи дна зоны проводимости:

$$\varepsilon_{\vec{k}} = \frac{\vec{k}^2}{2m} - \mu + E_c.$$

Далее, для действительной части электропроводности получим

$$Re \sigma_{\alpha\beta}(\omega) = \delta_{\alpha\beta} Re \sigma(\omega) = \frac{e^2}{3m^2\omega} [\delta_{\alpha\beta} \sum_{\vec{k}} \frac{\vec{k}^2 \sum_{\vec{q}} S_{\vec{k}\vec{q}}(\omega)}{\omega^2 + \gamma_{\vec{k}}^2(\omega)}, \quad (5)$$

* Решение однородного уравнения $\sum_{\vec{k}} \vec{k} \chi_{\vec{k}, \vec{k}'} = 0$ не дает вклада в проводимость в данном приближении.

где

$$S_{\vec{k} \vec{q}}^{\rightarrow \rightarrow}(\omega) = \frac{q \cos \theta}{k} P_{\vec{k} \vec{q}}^{\rightarrow \rightarrow}(\omega) \omega.$$

Используя явные выражения для $S_{\vec{k} \vec{q}}^{\rightarrow \rightarrow}$ и $\gamma_{\vec{k}}$, приведенные ниже в ((6), (7), (9), (10)) в пределе низких частот можно получить классическое выражение для проводимости (для фононов необходимо считать температуру высокой). При этом $1/\gamma_{\vec{k}}(0)$ совпадает с временем релаксации, получаемым из кинетического уравнения. Поэтому величину $1/\gamma_{\vec{k}}(\omega)$ можно назвать временем релаксации при наличии переменного внешнего поля.

В случае $\omega \gg \gamma_{\vec{k}}^{\rightarrow}(\omega)$ выражение (5) в точности совпадает с формулами, полученными в работах [4] и [5].

§ 2. Рассеяние на примесях

В случае рассеяния на примесях функции $\omega_{\vec{k}, \vec{k}+\vec{q}}^{\rightarrow \rightarrow}(E)$, $\gamma_{\vec{k}}^{\rightarrow}(\omega)$ и $S_{\vec{k} \vec{q}}^{\rightarrow \rightarrow}(\omega)$ имеют вид

$$\omega_{\vec{k}, \vec{k}+\vec{q}}^{\rightarrow \rightarrow}(E) = \frac{N |I(\vec{q})|^2}{V^2} \left\{ \frac{1}{\varepsilon_{\vec{k}+\vec{q}}^{\rightarrow} - \varepsilon_{\vec{k}}^{\rightarrow} + E} - \frac{1}{\varepsilon_{\vec{k}+\vec{q}}^{\rightarrow} - \varepsilon_{\vec{k}}^{\rightarrow} - E} \right\}.$$

$$\gamma_{\vec{k}}^{\rightarrow}(\omega) = -\pi \sum_{\vec{q}} \frac{N |I(\vec{q})|^2}{V^2} \frac{q \cos \theta}{k} [\delta(\varepsilon_{\vec{k}+\vec{q}}^{\rightarrow} - \varepsilon_{\vec{k}}^{\rightarrow} - \omega) + \delta(\varepsilon_{\vec{k}+\vec{q}}^{\rightarrow} - \varepsilon_{\vec{k}}^{\rightarrow} + \omega)], \quad (6)$$

$$S_{\vec{k}}^{\rightarrow}(\omega) = \sum_{\vec{q}} S_{\vec{k} \vec{q}}^{\rightarrow \rightarrow}(\omega) =$$

$$= -\pi \sum_{\vec{q}} \frac{N |I(\vec{q})|^2}{V^2} \frac{q \cos \theta}{k} (n_{\vec{k}} - n_{\vec{k}+\vec{q}}) [\delta(\varepsilon_{\vec{k}+\vec{q}}^{\rightarrow} - \varepsilon_{\vec{k}}^{\rightarrow} - \omega) - \delta(\varepsilon_{\vec{k}+\vec{q}}^{\rightarrow} - \varepsilon_{\vec{k}}^{\rightarrow} + \omega)]. \quad (7)$$

Производя интегрирование в (6) и (7), получаем*

$$\gamma_{\vec{k}}(\omega) = \frac{\pi m n_I e^4}{k^3 \varepsilon^2} \{ \varphi(k^2, \kappa^2) + \theta(k^2 - \kappa^2) \varphi(k^2, -\kappa^2) \},$$

$$S_{\vec{k}}(\omega) = \frac{\pi m n_I e^4}{k^3 \varepsilon^2} \{ (n_{\vec{k}} - n_1) \varphi(k^2, \kappa^2) - \theta(k^2 - \kappa^2) (n_{\vec{k}} - n_2) \varphi(k^2, -\kappa^2) \}.$$

Здесь

$$\varphi(k^2, \kappa^2) = \ln \left| \frac{k + \sqrt{k^2 + \kappa^2}}{k - \sqrt{k^2 + \kappa^2}} \right| - \frac{2k \sqrt{k^2 + \kappa^2}}{\kappa^2}.$$

$n_I = \frac{N}{V}$ — концентрация примесей; $\frac{\kappa^2}{2m} = \omega$ — частота внешнего поля;

$n_{1,2} = n_{\vec{k}} \exp\left(\mp \frac{\omega}{T}\right)$, где $n_{\vec{k}}$ — функция распределения Больцмана.

* При концентрации электронов $n_0 \leq 10^{17} \text{ см}^{-3}$ и частотах $\omega \geq 5 \cdot 10^{12} \text{ сек}^{-1}$ экранирование не существенно.

В случае $\omega \gg \gamma_k(\omega)$ действительная часть электропроводности будет

$$Re \sigma(\omega) = \frac{8\sqrt{2\pi} e^8 n_I n_0 \hbar^2}{3m^{3/2} \varepsilon^2 \sqrt{T} (\hbar\omega)^3} \cdot \text{sh}\left(\frac{\hbar\omega}{2T}\right) K_0\left(\frac{\hbar\omega}{2T}\right), \quad (8)$$

где $K_0\left(\frac{\hbar\omega}{2T}\right)$ — функция Макдональда нулевого порядка. Отличие (8) от результата, полученного в [1], состоит в наличии множителя $\left(1 - \exp\left(\frac{-\hbar\omega}{T}\right)\right)$, учитывающего индуцированное излучение (приход электронов).

Рассмотрим некоторые предельные выражения. Высокие частоты и низкие температуры $\hbar\omega \gg T$

$$\alpha(\omega) = \frac{16\sqrt{2}\pi^2}{3} \frac{e^8 n_I n_0 \hbar^2}{c\sqrt{\varepsilon} \varepsilon^2 m^{3/2} (\hbar\omega)^{7/2}}.$$

Высокие температуры и низкие частоты $T \gg \hbar\omega$

$$\alpha(\omega) = \frac{16\pi\sqrt{2\pi}}{3} \frac{e^8 n_I n_0 \hbar^2}{c\sqrt{\varepsilon} \varepsilon^2 (mT)^{3/2} (\hbar\omega)^2} \cdot \ln \frac{4T}{\hbar\omega}.$$

§ 3. Рассеяние на оптических фононах

В этом случае функции $\omega_{\vec{k}, \vec{k}+\vec{q}} \rightarrow \rightarrow(E)$, $\gamma_{\vec{k}}(\omega)$, $S_{\vec{k} \rightarrow \vec{q}}(\omega)$ имеют вид

$$\begin{aligned} \omega_{\vec{k}+\vec{q}, \vec{k}} \rightarrow \rightarrow(E) &= 2EA_q^2 \left\{ \frac{1 + v_q - n_{\vec{k}+\vec{q}} \rightarrow}{E^2 - (\varepsilon_{\vec{k}+\vec{q}} \rightarrow - \varepsilon_{\vec{k}} \rightarrow + \omega_0)^2} + \frac{v_q + n_{\vec{k}+\vec{q}} \rightarrow}{E^2 - (\varepsilon_{\vec{k}+\vec{q}} \rightarrow - \varepsilon_{\vec{k}} \rightarrow - \omega_0)^2} \right\}; \\ \gamma_{\vec{k}} \rightarrow(\omega) &= -\pi \sum_{\vec{q}} A_q^2 \frac{q \cos \theta}{k} \{ (1 + v_q - n_{\vec{k}+\vec{q}} \rightarrow) [\delta(\omega + \omega_0 + \varepsilon_{\vec{k}+\vec{q}} \rightarrow - \varepsilon_{\vec{k}} \rightarrow) + \\ &+ \delta(\omega - \omega_0 - \varepsilon_{\vec{k}+\vec{q}} \rightarrow + \varepsilon_{\vec{k}} \rightarrow)] + (v_q + n_{\vec{k}+\vec{q}} \rightarrow) \times \\ &\times [\delta(\omega + \omega_0 - \varepsilon_{\vec{k}+\vec{q}} \rightarrow + \varepsilon_{\vec{k}} \rightarrow) + \delta(\omega - \omega_0 + \varepsilon_{\vec{k}+\vec{q}} \rightarrow - \varepsilon_{\vec{k}} \rightarrow)] \}. \end{aligned} \quad (9)$$

$$\begin{aligned} S_{\vec{k}} \rightarrow(\omega) &= \sum_{\vec{q}} S_{\vec{k} \rightarrow \vec{q}}(\omega) = \\ &= -\pi \sum_{\vec{q}} A_q^2 \frac{q \cos \theta}{k} \left\{ \frac{n_{\vec{k}} \rightarrow - n_{\vec{k}+\vec{q}} \rightarrow}{2} \left[\text{cth} \frac{\omega_0}{2T} + \text{cth} \frac{\varepsilon_{\vec{k}+\vec{q}} \rightarrow - \varepsilon_{\vec{k}} \rightarrow}{2T} \right] \times \right. \\ &\times [\delta(\omega - \omega_0 - \varepsilon_{\vec{k}+\vec{q}} \rightarrow + \varepsilon_{\vec{k}} \rightarrow) - \delta(\omega + \omega_0 + \varepsilon_{\vec{k}+\vec{q}} \rightarrow - \varepsilon_{\vec{k}} \rightarrow)] + \\ &+ \frac{n_{\vec{k}} \rightarrow - n_{\vec{k}+\vec{q}} \rightarrow}{2} \left[\text{cth} \frac{\omega_0}{2T} - \text{cth} \frac{\varepsilon_{\vec{k}+\vec{q}} \rightarrow - \varepsilon_{\vec{k}} \rightarrow}{2T} \right] \cdot [\delta(\omega + \omega_0 - \varepsilon_{\vec{k}+\vec{q}} \rightarrow + \varepsilon_{\vec{k}} \rightarrow) - \\ &\left. - \delta(\omega - \omega_0 + \varepsilon_{\vec{k}+\vec{q}} \rightarrow - \varepsilon_{\vec{k}} \rightarrow)] \right\}. \end{aligned} \quad (10)$$

Как и ранее, интегрируем, учитывая

$$n(\varepsilon_{\vec{k}+q} \rightarrow) \delta(\varepsilon_{\vec{k}+q} - \varepsilon_{\vec{k}} + \omega + \omega_0) = n(\varepsilon_{\vec{k}} - \omega - \omega_0) \delta(\varepsilon_{\vec{k}+q} \rightarrow - \varepsilon_{\vec{k}} + \omega + \omega_0).$$

Введем обозначения

$$n_{1,2} = n_{\vec{k}} \exp\left(\frac{\omega_0 \mp \omega}{T}\right);$$

$$n_{3,4} = n_{\vec{k}} \exp\left(\frac{-\omega_0 \mp \omega}{T}\right); \quad \frac{q_0^2}{2m} = \omega_0; \quad v_0 = (e^{\frac{\omega_0}{T}} - 1)^{-1};$$

$$|\psi(k^2, -\kappa^2, q_0^2) = \left\{ \frac{-\kappa^2 + q_0^2}{k^2} \ln \left| \frac{k + \sqrt{k^2 - \kappa^2 + q_0^2}}{k - \sqrt{k^2 - \kappa^2 + q_0^2}} \right| - \right.$$

$$\left. - \frac{2}{k} \sqrt{k^2 + q_0^2 - \kappa^2} \right\} \times \Theta(k^2 - \kappa^2 + q_0^2).$$

Получим

$$\gamma_k(\omega) = \frac{-\pi m e^4}{M \omega_0 a^3 k} \{ (1 + v_0 - n_1) \psi(k^2, \kappa^2, -q_0^2) + (1 + v_0 - n_2) \times$$

$$\times \psi(k^2, -\kappa^2, -q_0^2) + (v_0 + n_3) \psi(k^2, \kappa^2, q_0^2) + (v_0 + n_4) \psi(k^2, -\kappa^2, q_0^2) \}.$$

$$S_k(\omega) = \frac{-\pi m e^4}{M \omega_0 a^3 k} \left\{ \frac{n_k - n_1}{2} \left[\operatorname{cth} \frac{\omega_0}{2T} + \operatorname{cth} \frac{\varepsilon_{k+q} - \varepsilon_k}{2T} \right] \psi(k^2, \kappa^2, -q_0^2) - \right.$$

$$- \frac{n_k - n_2}{2} \left[\operatorname{cth} \frac{\omega_0}{2T} + \operatorname{cth} \frac{\varepsilon_{k+q} - \varepsilon_k}{2T} \right] \psi(k^2, -\kappa^2, -q_0^2) +$$

$$+ \frac{n_k - n_3}{2} \left[\operatorname{cth} \frac{\omega_0}{2T} - \operatorname{cth} \frac{\varepsilon_{k+q} - \varepsilon_k}{2T} \right] \psi(k^2, \kappa^2, q_0^2) -$$

$$\left. - \frac{n_k - n_4}{2} \left[\operatorname{cth} \frac{\omega_0}{2T} - \operatorname{cth} \frac{\varepsilon_{k+q} - \varepsilon_k}{2T} \right] \psi(k^2, -\kappa^2, q_0^2) \right\}.$$

В случае высоких частот ($\omega \gg \gamma_k(\omega)$) получаем (ср. [3])

$$Re \sigma(\omega) = \frac{4\pi n_0 e^6}{3\hbar m M \omega_0^3 a^3} \sqrt{\frac{2m}{\hbar \omega_0}} \left(\frac{\omega_0}{\omega}\right)^{\frac{5}{2}} \sqrt{\frac{2}{\pi}} \frac{1}{\sqrt{\frac{\hbar \omega}{2T}}} \frac{\operatorname{sh} \frac{\hbar \omega}{2T}}{\operatorname{sh} \frac{\hbar \omega_0}{2T}} \times$$

$$\times \left\{ \frac{|\hbar(\omega - \omega_0)|}{2T} K_1\left(\frac{|\hbar(\omega - \omega_0)|}{2T}\right) + \frac{\hbar(\omega + \omega_0)}{2T} K_1\left(\frac{\hbar(\omega + \omega_0)}{2T}\right) \right\},$$

где $K_1\left(\frac{\hbar(\omega + \omega_0)}{2T}\right)$ есть функция Мак-дональда первого порядка.

Перепишем выражение

$$\sigma_0 = \frac{4\pi n_0 e^6}{3\hbar m M \omega_0^3 a^3} \sqrt{\frac{2m}{\hbar \omega_0}}$$

и рассмотрим некоторые предельные случаи:

Высокие частоты $\omega \gg \omega_0 \sim \frac{T}{\hbar}$

$$\alpha(\omega) = \frac{4\pi\sigma_0}{c\sqrt{\varepsilon}} \left(\frac{\omega_0}{\omega}\right)^{\frac{5}{2}} \frac{1}{\operatorname{sh} \frac{\hbar\omega_0}{2T}}.$$

Низкие температуры $\frac{\hbar(\omega - \omega_0)}{T} \gg 1$

$$\alpha(\omega) = \frac{4\pi\sigma_0}{c\sqrt{\varepsilon}} \left(\frac{\omega_0}{\omega}\right)^{\frac{5}{2}} \sqrt{1 - \frac{\omega_0}{\omega}}.$$

При $\omega < \omega_0$ коэффициент поглощения экспоненциально мал. Это обстоятельство подробно обсуждается в [3] и отвечает пороговому рождению оптических фононов.

Низкие частоты: $\omega \ll \omega_0 \sim \frac{T}{\hbar}$.

В этой области частот величина $\gamma_k(\omega)$ оказывается порядка $\hbar\omega$ и не может быть опущена в (4). Прямое вычисление приводит к следующему результату:

$$\sigma(\omega) = \frac{e^2 n_0}{m\omega} I;$$

$$I = \frac{4}{3\sqrt{\pi}} b^5 \int_0^{\infty} dy y^4 e^{-b^2 y^2} \frac{2\varphi(y)}{\varphi^2(y) + 1};$$

$$\varphi(y) = \frac{d}{y} \left\{ 2\sqrt{1+y^2} - y^2 \ln \frac{1 + \sqrt{1+y^2}}{\sqrt{1+y^2} - 1} \right\};$$

$$b = \frac{\hbar\omega_0}{T};$$

$$d = \pi v_0 \sqrt{2} \left(\frac{e^2}{a\hbar\omega} \right) \left(\frac{e^2}{a^2 \omega_0 \sqrt{mT}} \right) \frac{m}{M} \frac{T}{\hbar\omega_0}.$$

Грубые оценки интеграла показывают, что $I \sim 1$. При $d \gg 1$ (очень малые частоты) I пропорционально ω и σ стремится к постоянной величине.

§ 4. Обсуждение результатов

Ниже будет проанализировано влияние различных механизмов рассеяния на поглощении свободными носителями заряда; мы приведем результаты, полученные в работе [8], для рассеяния на акустических фононах.

Низкие температуры $\hbar\omega \gg T \gg ms^2$ (s — скорость звука), $v_q \ll 1$, $\gamma_k \ll \hbar\omega$.

$$\alpha(\omega) = \frac{10}{3\sqrt{\varepsilon}} \frac{e^2}{\hbar c} (n_0 a^3) \left(\frac{m}{M}\right) \frac{T}{\hbar s} \left(\frac{E_1}{\hbar\omega}\right)^2.$$

Высокие температуры: $T \gg \hbar\omega \gg ms^2$, $v_q \gg 1$, $\gamma_k \ll \hbar\omega$.

$$\alpha(\omega) = \frac{16}{c\sqrt{\varepsilon}} (n_0 a^3) \frac{m}{M} \frac{e^2 T}{\hbar^2 s} \left(\frac{E_1}{\hbar\omega}\right)^2.$$

„Высокие” температуры: $\hbar\omega \gg T \gg ms^2$, $v_q \gg 1$, $\gamma_k \ll \hbar\omega$.

$$\alpha(\omega) = \frac{4}{\sqrt{\varepsilon}} \left(\frac{e^2}{\hbar c} \right) (n_0 a^3) \frac{m}{M} \left(\frac{T}{\hbar s} \right)^2 \left(\frac{E_1}{\hbar\omega} \right)^2 \sqrt{\frac{\hbar}{m\omega}}$$

Результат, полученный в [1] (закон $\omega^{-\frac{3}{2}}$), можно получить лишь при выполнении неравенства

$$\frac{1}{2\pi \sqrt{2}} \left(\frac{m}{M} \right) \sqrt{\frac{T}{\hbar\omega}} \left(\frac{E_1 a}{\hbar s} \right)^2 \frac{a \sqrt{mT}}{\hbar} \gg 1.$$

Далее, составляя соответствующие отношения, приходим к результатам, представленным в таблице.

Предельный случай	Механизм рассеяния		
	оптические фононы	акустические фононы	примесь
Высокие частоты $\omega \gg \omega_0 \sim \frac{T}{\hbar}$	_____	_____	_____
Низкие температуры $T \ll \hbar\omega_0$ $\omega < \omega_0$	_____	_____	_____
Низкие температуры $T \ll \hbar\omega_0$ $\omega > \omega_0$	_____	_____	_____
Низкие частоты $\omega \ll \omega_0 \sim \frac{T}{\hbar}$	_____	_____	_____
Высокие температуры $\hbar\omega_0 \ll T$	_____	_____	_____

Преобладающий механизм указан штриховкой. Сравнения сделаны при $n_I \sim 10^{17} \text{ см}^{-3}$; $n_0 \sim 10^{17} \text{ см}^{-3}$; $\omega_0 = 5 \cdot 10^{13} \text{ сек}^{-1}$ для GaAs.

Как видно из таблицы, в области высоких частот существенно поглощение, связанное с рассеянием на оптических фононах. Зависимость α_{opt} от ω показана на рис. 1.

В случае низких температур при частотах, меньших ω_0 , главную роль играет рассеяние на примеси. Зависимость α_{imp} от ω показана на рис. 2.

При $\omega > \omega_0$ рассеяние на оптических фононах становится сравнимым с рассеянием на примеси.

При высоких температурах преобладает рассеяние на оптических фононах, но неравенство $\hbar\omega \gg \gamma_k$, при котором вычислено α_{opt} , может нарушаться для частот, близких к частоте оптического фонона, и тогда коэффициент поглощения уменьшается.

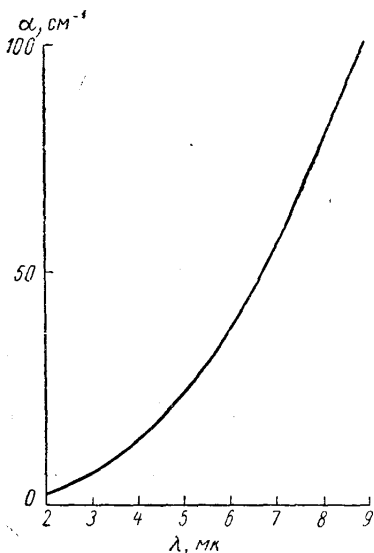


Рис. 1. $\alpha_{opt}(\lambda)$ для GaAs при $T = 300^\circ\text{K}$ и $n_0 = 10^{18} \text{ см}^{-3}$

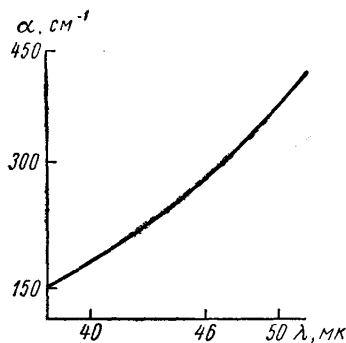


Рис. 2. $\alpha_{imp}(\lambda)$ для GaAs при $T = 120^\circ\text{K}$ и $n_0 = 10^{17} \text{ см}^{-3}$, $n_I = 10^{17} \text{ см}^{-3}$, $\omega < \omega_0$

В низкочастотной области рассеяние на акустических фононах преобладает. Однако по мере роста ω возрастает рассеяние на примесях и при $\omega = 0,1 \omega_0$ оно уже преобладает.

В заключение выражаем глубокую признательность проф. В. Л. Бонч-Бруевичу за предложенную тему и многочисленные полезные обсуждения.

ЛИТЕРАТУРА

1. Фань Н. И. «Усп. физич. наук», **64**, 316, 1958.
2. Яковлев В. А. «Физика твердого тела», **4**, вып. 4, 1962.
3. Wolfe R.,—Proc. Phys. Soc., **A67**, 74, 1954.
4. Гуревич В. Л., Ланг И. Г., Фирсов Ю. А. «Физика твердого тела», **4**, вып. 5, 1962.
5. Ron A. Nuovo Cim., **34**, No. 6, 1964.
6. Плакида Н. М. ДАН СССР, **147**, 1067, 1962.
7. Бонч-Бруевич В. Л., Тябликов С. В. Метод функций Грина в статистической механике. М., Физматгиз, 1961.
8. Bonch-Bruевич W. L. Fundamentals of Solid State Optics. Proc. International School. «Enrico Fermi», Bologna, 1966.

Поступила в редакцию
1. 2 1966 г.

Кафедра
полупроводников